

تعیین مقدار رسوب در فرایند تزریق آب به مخازن نفتی ایران

سمانه صبور، محمد نادر لطف‌اللهی*[†]، پویا متخدین

سمنان، دانشگاه سمنان، دانشکده مهندسی شیمی، نفت و گاز

چکیده: در این پژوهش، با استفاده از مدل پیتر مقدار و نوع رسوب برای چندین نمونه آب دریا و آب سازند به دست آمدند. این رسوب‌ها به علت تزریق آب ناسازگار با آب سازند و یا تغییر دما و فشار در داخل چاه به وجود آمدند. این رسوب‌ها شامل باریم سولفات، استرانسیم سولفات، کلسیم سولفات دوآبه و کلسیم سولفات بدون آب هستند که باعث بروز مشکلات فراوانی در مخزن نفت و یا چاه تولید نفت می‌شوند. نتیجه‌ها نشان می‌دهند که بیشترین مقدار رسوب برای نسبت‌های بزرگ تر آب سازند به آب دریا به وجود می‌آید و در بیشتر موارد، مقدار رسوب استرانسیم سولفات از رسوب‌های دیگر بیشتر است. همچنین به دلیل حلالیت بیشتر کلسیم سولفات دوآبه، مقدار رسوب کلسیم سولفات دوآبه ناچیز است. با افزایش دما، مقدار رسوب استرانسیم سولفات و کلسیم سولفات، افزایش و مقدار رسوب باریم سولفات، کاهش می‌یابد و افزایش فشار باعث کاهش فوق اشباع بودن سولفات و مقدار رسوب می‌شود. البته در شرایط دمایی و فشاری به کار رفته در این پژوهش، تغییرات فشار اثر کمتری را نشان می‌دهد. محاسبه‌های این مطالعه، تطابق خوب مدل پیشنهادی برای پیش‌بینی مقدار و نوع رسوب با نتیجه‌های گزارش شده میدانی را نشان می‌دهد.

واژه‌های کلیدی: مدل پیتر، رسوب، تزریق آب، حلالت.

KEY WORDS: The Pitzer model, Scale, Water injection, Solubility.

مقدمه

رسوب تشکیل شده در منافذ مخزن مانع حرکت نفت شده و برای ثابت نگه داشتن مقدار تولید نفت باید فشار و مقدار آب تزریقی افزایش یابد. بهمین دلیل باید مقدار رسوب پیش‌بینی شود تا با راه کارهای مناسب از تشکیل آن جلوگیری شود. در این زمینه پژوهش‌های تجربی و نظری بسیاری انجام شده است. در پژوهش‌های انجام شده، موضوع تجانس آب‌ها بیشتر مورد توجه قرار گرفته است [۱-۳]. کوشانفر و همکاران [۱] در یک کار تجربی با تجزیه و تحلیل آب دریا و آب سازند سیری C و D در آزمایشگاه، امکان تشکیل رسوب کلسیم کربنات، کلسیم سولفات و استرانسیم سولفات را

*E-mail: mnlotfollahi@semnan.ac.ir

[†]عهده دار مکاتبات

UNIQUAC توسعه یافته به همراه پارامترهای فشار پیشنهاد شده می‌تواند داده‌های حلالیت چهارتایی، سه تایی و دوتایی را در بازه‌ی دمایی ۲۰–۳۰۰ درجه سانتی‌گراد و فشار ۱ تا ۱۰۰۰ بار تعیین کند. آن‌ها همچنین در مقاله‌ای که در سال ۲۰۰۶ میلادی [۷] به چاپ رساندند، مدلی برای پیش‌بینی تعادل جامد–مایع–گاز برای سامانه‌های شامل کربنات (کلسیم کربنات، منیزیم کربنات، باریم کربنات و استرانسیم کربنات) ارایه کردند.

در سال ۱۹۹۵ میلادی، زو و همکاران [۸] با یک مدل کامپیوتری مقدار رسوبر سولفات را پیش‌بینی کرده و راه کارهایی برای جلوگیری از تشکیل رسوبر ارایه دادند. به طور مثال توصیه کردند که روش اساسی برای جلوگیری از تشکیل رسوبر، استفاده از آب‌هایی است که مقدار سولفات‌آنها، کم باشد و یا از ممانعت کننده استفاده شود.

در سال ۲۰۰۳ میلادی، مقدسی و همکاران [۹] مدلی پیشنهاد کردند که بتواند پدیده رسوبر در چاه‌های نفت ایران را که به علت اختلاط دو آب ناسازگار، یا تغییر در ترمودینامیک، سینتیک و هیدرودینامیک شرایط سامانه اتفاق می‌افتد، پیش‌بینی کند. آنها این مدل را با استفاده از داده‌های تجربی و برآش تجربی مبتنی بر شرایط حاکم بر چاه‌های نفت ایران پیشنهاد کردند. همچنین توانستند تنهشینی هم زمان رسوبرهای چاه نفت و رقابت یون‌های گوناگون در تشکیل رسوبر و اثر آن‌ها در ته نشینی یون‌های دیگر را در رابطه ریاضی خویش وارد کنند. آنها در محاسبات خویش محلول را ایده‌آل فرض کردند.

زرکس و همکاران [۱۰] یک مدل برآشی را برای پیش‌بینی تشکیل رسوبر استرانسیم سولفات ارایه کردند. آنها محلول را ایده‌آل فرض کرده و با استفاده از نتیجه‌های تجربی، پارامترهای مدل خود را به دست آورند. مطالعه‌های آنها، همچنین ثابت کرد که حلالیت استرانسیم سولفات با افزایش قدرت یونی، افزایش و با افزایش دما، کاهش می‌باشد. نتیجه‌های این مدل نشان می‌دهد که تغییر فشار از ۱۰۰ تا ۳۰۰ psig، تنها باعث تغییرهای خیلی جزئی در حلالیت استرانسیم سولفات می‌شود.

آدو و تامسن [۱۱] نیز یک مدل برآشی را برای پیش‌بینی تشکیل رسوبر ارایه کردند. این دانشمندان، مدل خود را با استفاده از مفهوم فوق اشباعی ارایه و محلول را ایده‌آل فرض کردند.

لیندنفو/استفر [۱۲]، مقدار رسوبرهای سولفات‌های استرانسیم، کلسیم و باریم را در اثر تزریق آب دریا به مخزن Arab-D در مناطق شمالی میدان نفتی Ghawar ارزیابی کردند. همچنین

مورد بررسی قرار دادند. آنها در این کار تجربی با در نظر گرفتن نسبت‌های گوناگون از آب دریا در آب مخازن، مقدار رسوبر در دماهای گوناگون را تعیین کردند.

شیخ‌الاسلامی و آنگ [۲] اثر غلظت NaCl محلول را روی سینتیک و ترمودینامیک رسوبرهای CaCO₃ و CaSO₄ به شکل جدا از هم و با هم بررسی کردند. آزمایش‌ها به صورت ناپیوسته در دمای ۳۰°C برای غلظت‌های آب نمک ۰/۵ تا ۱/۵ مولار، کلسیم سولفات‌های بازه ۰/۰۶ تا ۰/۱۵ مولار و باریم کربنات در بازه ۰/۰۰۲ تا ۰/۰۲ مولار و نسبت ۲ به ۸ سولفات به کربنات انجام شده است.

در سال ۱۹۹۰ میلادی، تاد و یوآن [۳] چگونگی تشکیل رسوبرهای BaSO₄ و SrSO₄ در اثر تزریق آب دریای شمال به مخازن نفتی از جنس ماسه سنگ را به صورت آزمایشگاهی بررسی کردند. آنها با استفاده از میکروسکوپ الکترونی، شکل و اندازه کریستال‌ها و مقدار کاهش نفوذپذیری سنگ مخزن را تعیین کردند و نیز اثر نسبت یون‌های استرانسیم به باریم (Sr/Ba) بر تشکیل رسوبر را گزارش کردند. این پژوهشگران در سال ۱۹۹۲ میلادی، اثر دما بر مقدار رسوبرهای باریم سولفات و استرانسیم سولفات را تعیین و گزارش کردند [۲۰].

هاربرگ و همکاران [۴] مدلی برای حاصل ضرب انحلال مواد معدنی رسوبری ارایه کردند. حلالیت‌های به دست آمده از مدل پیشنهادی برای محلول‌هایی با غلظتی تا حدود دو برابر غلظت آب دریا و دمای ۲۰ تا ۱۵۰°C و فشاری تا حدود ۴۰ MPa به خوبی سازگار بود.

آنها بر محاسبه‌های خود از معادله UNIQUAC استفاده کردند. میچل و گریست [۵]، مشکل‌های به وجود آمده از تشکیل کربنات و سولفات در مخزن Forties دریای شمال را بررسی کرده و نتیجه گرفته‌اند که این مشکلات، ناشی از دو عامل بنیادی است. یکی از این عامل‌ها، اختلاط آب مخزن و آب تزریقی می‌باشد که باعث تشکیل رسوبرهایی مانند باریم سولفات و استرانسیم سولفات می‌شود عامل دیگر، تشکیل رسوبر کلسیم کربنات در آب مخزن به علت تغییر دما و فشار در طی فرایند بهره برداری معرفی شده است.

در سال ۲۰۰۴ میلادی، تامسن و استن بای [۶] با افزودن پارامترهای فشار به مدل UNIQUAC، مدل اصلاح جامد–مایع رسوبر ارایه کردند که این مدل برای پیش‌بینی تعادل جامد–مایع رسوبر مواد معدنی کلسیم سولفات بدون آب، کلسیم سولفات دو آبه، باریم سولفات و استرانسیم سولفات‌های تا دمای ۳۰۰°C و فشار ۱۰۰۰ bar به کار می‌رود. نتیجه‌های آن‌ها نشان می‌دهد که مدل

جدول ۱-وابستگی دمایی K_{sp} .

پارامترها	k_0	k_1	k_2	k_3	k_4
$-\sqrt[2]{\ln K_{sp,BaSO_4}}$	۱۱۶۹	-0.228×10^{-1}	0.2009×10^{-3}	-0.5801×10^{-6}	0.8104×10^{-9}
$-\sqrt[2]{\ln K_{sp,SrSO_4}}$	۷۶۴۶	-0.567×10^{-2}	0.1803×10^{-3}	-0.1227×10^{-5}	0.6418×10^{-8}
$-\sqrt[2]{\ln K_{sp,gypsum}}$	۵۲۴۷	-0.4665×10^{-2}	0.1089×10^{-3}	-0.2696×10^{-6}	0.2382×10^{-9}
$-\sqrt[2]{\ln K_{sp,anhydrite}}$	۴۶۶۲	0.187×10^{-1}	-0.1678×10^{-3}	0.1688×10^{-5}	-0.4425×10^{-8}



$$K_{sp,MX} = m_{M,e}m_{X,e}\gamma_M\gamma_Xa_{H_2O}^n = \quad (2)$$

$m_{M,e}m_{X,e}\gamma_{MX}a_{H_2O}^n$
که m_M و m_X مولالیته و ضریب اکتیویته یون‌های M^{r+} و X^{r-} هستند و a_{H_2O} اکتیویته آب می‌باشد.
در معادله، برای $BaSO_4$ ، $SrSO_4$ و $CaSO_4$ $n=0$ می‌باشد
و برای کلسیم کربنات دو آبه ($Gypsum$) $n=2$ است.
از معادله (2) می‌توان به معادله زیر رسید:

$$-\ln(m_{M,e}m_{X,e}) = \quad (3)$$

$$-\ln K_{sp,MX} + 2\ln\gamma_{MX} + n\ln a_{H_2O}$$

مقدارهای حاصل ضرب حلالیت در جدول ۱ داده شده است.
ضریب اکتیویته (γ_{MX}) نیز از معادله زیر محاسبه می‌شود [۲، ۱۹]:

$$\ln\gamma_{MX} = \quad (4)$$

$$\begin{aligned} & |z_M z_X| F + \frac{v_M}{v} \sum_a m_a (\gamma B_{Ma} + Z C_{Ma} + \gamma \frac{v_X}{v_M} \Phi_{Xa} \\ & + \frac{v_X}{v} \sum_c m_c (\gamma B_{cX} + Z C_{cX} + \gamma \frac{v_M}{v_X} \Phi_{Mc}) \\ & + \sum_c \sum_a m_c m_a v^{-1} (\gamma v_M z_M C_{ca} + v_M \Psi_{Mca} + v_X \Psi_{caX}) \\ & + \sum_c \sum_{c'} m_c m_{c'} \frac{v_X}{v} \Psi_{cc'X} + \sum_a \sum_{a'} m_a m_{a'} \frac{v_M}{v} \Psi_{Maa'} \\ & + \gamma \sum_n (v_M \lambda_{nM} + v_X \lambda_{nX}) \end{aligned}$$

و a' نشان‌دهنده یون‌های آئیون و c' نشان‌دهنده کاتیون‌ها در محلول هستند. Z_X و v_X ظرفیت یون‌ها را نشان می‌دهند و v_M و v_X تعداد یون‌ها را نمایش می‌دهند.

وتر و همکاران [۱۴]، مقدار رسوب‌ها در فرایند تزریق آب را تابعی از نسبت اختلاط آبهای، تجزیه دو آب، دما و فشار در هر نقطه از مخزن دانستند. آنها بر اهمیت مسئله تجانس آب تزریقی و آب مخزن تأکید کردند و نتیجه گرفتند وقتی که فقط آب تولیدی از مخزن دوباره به درون آن تزریق می‌شود، به علت خارج شدن گازهایی مانند CO_2 و H_2S از آب در سر چاه و در نتیجه تغییر تجزیه و pH آب، مشکلاتی در زمینه سازگاری آبها و تشکیل رسوب، به وجود خواهد آمد.

در سال ۲۰۰۵ میلادی [۱۵] لیو در پژوهشی مکانیسم رسوب و جلوگیری از تشکیل آن را در منطقه Mawangmiao بررسی کرد. لیو در مدت بررسی مکانیسم تزریق آب، مقدار کاهش تشکیل رسوب را نیز اندازه‌گیری کرد. لیو و همکاران در پژوهشی دیگر در سال ۲۰۰۹ میلادی [۱۶] تجمع رسوب در لوله‌های تزریق آب در منطقه نفتی Daqing را پیش‌بینی کردند. آنها به بررسی مکانیسم و عامل‌های مؤثر بر روی رسوب پرداختند و نوع اصلی رسوب در لوله‌های تزریق آب در منطقه نفتی Daqing را مورد بررسی قرار دادند.

آخر بدر و همکاران [۱۷] طی پژوهشی به پیش‌بینی تشکیل رسوب باریم سولفات در آب سازندۀای با باریم بالا پرداختند. در پژوهش آنها کاهش مقدار نفوذپذیری به علت ته نشینی باریم سولفات در حفره‌های سنگها به علت ترکیب آب دریا و سازندی که دارای غلظت بالای باریم هستند در گستره‌ی دمایی ۵۰ تا ۸۰ درجه سانتی گراد و محدوده فشاری ۱۰۰ تا ۲۰۰ psig مورد بررسی قرار گرفته است.

بخش نظری

در محلول، یک واکنش دو طرفه حل شدن و رسوب کردن وجود دارد که برای هر نمک $MX.nH_2O$ طبق معادله (۱) بیان می‌شود.

جدول ۲- تجزیه آب خلیج فارس و آب سازندهای سیری و نصرت [۹].

یون‌ها	Na^+	Ca^{+2}	Mg^{+2}	Ba^{+2}	Sr^{+2}	Cl^-	SO^{-2}
Siri-E	۴۲۸۰۰	۸۹۱۷	۵۵۲	-	-	۸۳۳۲۴	۱۴۲
Nosrat	۴۳۷۰۰	۷۹۲۰	۲۰۱۰	۱۸	۶۱۰	۸۶۹۰۰	۳۴۰
آب خلیج فارس	۱۱۷۵۰	۲۶۷	۲۹۹۶	۰,۰۹	۳/۴	۲۳۰۰۰	۳۳۵۰

برای محاسبه مقدار رسوب نیز می‌توان از معادله زیر استفاده کرد:

$$(m_M \cdot m_X)^{\frac{1}{2}} = \quad (10)$$

$(m_i - \Delta m_i)^{\frac{1}{2}} (x - (\Delta m_i + \Delta m_r + \Delta m_{r'} + \Delta m_{r''}))^{\frac{1}{2}}$ که Δm_i مقدار رسوب Δm_r ، $\Delta m_{r'}$ ، $\Delta m_{r''}$ مقدار رسوب کلسیم سولفات بدون آب و Δm_{SO_4} مقدار رسوب کلسیم سولفات دوآبه می‌باشند.

برای محاسبه مقدارهای رسوب‌های BaSO_4 ، SrSO_4 ، $\text{CaSO}_4 \cdot 2\text{H}_2\text{O}$ و CaSO_4 ، معادله (۱۰) برای این چهار رسوب نوشته شده و به طور همزمان حل می‌شوند.

نتیجه‌های مدل‌سازی

در این پژوهش برای نمونه‌های گوناگون آب دریا و آب سازندهای فوق اشباع نسبی و مقدار رسوب با استفاده از مدل پیترز محاسبه شده است. جدول ۲ تجزیه آب خلیج فارس و آب سازندهای سیری - E و نصرت را نشان می‌دهد. در شکل ۱ مقدار فوق اشباع نسبی بر حسب درصدهای مختلف اختلاط آب خلیج فارس و آب سازندهای سیری - E در دمای ۱۰۰ درجه سانتی گراد و فشار ۲۷۰ psi ارایه شده است. در شکل ۲ مقدار رسوب‌های تشکیل شده بر حسب درصد اختلاط آب دریا به آب سازنده داده شده است. در شکل‌های ۱ و ۲، در دمای ۱۰۰ درجه سانتی گراد و فشار ۲۷۰ psi در مخزن سیری - E رسوب انیدرید و ژیپسیم دیده شد. که با کاهش دما به ۵۰ درجه سانتی گراد و کاهش فشار به ۱۳۵ psi، فوق اشباعیت انیدرید کاهش یافت و مقدار رسوب نیز کم شد، فوق اشباعیت استرانسیم سولفات و ژیپسیم کاهش یافت، ولی فوق اشباعیت باریم سولفات افزایش پیدا کرد (شکل‌های ۳ و ۴).

برای سازندهای نصرت فوق اشباعیت و مقدار رسوب در دمای ۱۰۰ درجه سانتی گراد و فشار ۲۷۰ psi در شکل‌های ۱ و ۲ نشان داده شده است. با کاهش دما و فشار به ۵۰ درجه سانتی گراد و فوق اشباعیت باریم سولفات و مقدار رسوب آن افزایش می‌یابد.

Z در معادله‌های فوق، از معادله‌های (۵) و (۶) محاسبه می‌شوند.

$$F = -A_\phi [I^{\frac{1}{2}} / (1 + bI^{\frac{1}{2}}) + (2/b) \ln(1 + bI^{\frac{1}{2}})] + \quad (5)$$

$$\sum_{c-a} m_c m_a B'_{ca} + \sum_{c-c'} m_c m_{c'} \Phi'_{cc'} + \sum_{a-a'} m_a m_{a'} \Phi'_{aa'} \\ Z = \sum_i m_i |z_i| \quad (6)$$

C_{ij} و B_{ij} پارامترهای مربوط به ضریب‌های ویریال برای هر نمک و Ψ_{ij} و Φ_{ij} ، ضریب‌های ویریال برای مخلوط الکتروولیت‌ها هستند. اکتویته آب نیز از فرمول زیر محاسبه می‌شود:

$$a_s = \exp \left(-\frac{\phi \cdot v \cdot M_{MX} \cdot M_s}{\dots} \right) \quad (7)$$

که v برابر مجموع v_M و v_X و M_{MX} مولالیته رسوب موردنظر و M_s جرم مولکولی حلال می‌باشد.

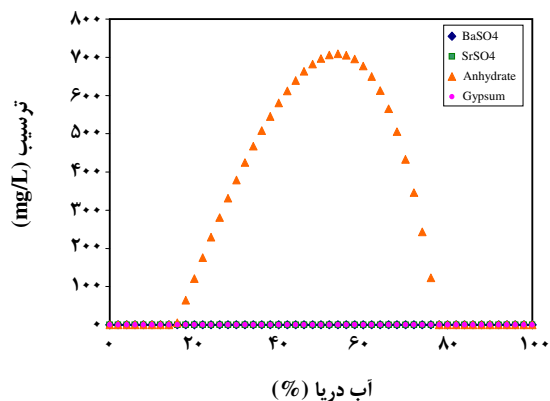
ϕ نیز که فشار اسمزی می‌باشد به شکل زیر تعریف می‌شود:

$$\phi - 1 = \frac{2}{\sum_i m_i} \left[\frac{-A_\phi I^{\frac{1}{2}}}{1 + bI^{\frac{1}{2}}} + \sum_{c-a} m_c m_a (B_{ca}^\phi + ZC_{ca}) + \right. \\ \left. \sum_{c-c'} m_c m_{c'} (\Phi_{cc'}^\phi + \sum_a m_a \Psi_{cc'a}) + \right. \\ \left. \sum_{a-a'} m_a m_{a'} (\Phi_{aa'}^\phi + \sum_c m_c \Psi_{caa'}) + \right. \\ \left. \sum_{n-c} m_n m_c \lambda_{nc} + \sum_{n-a} m_n m_a \lambda_{na} + \right. \\ \left. d \sum_{n-n'} m_n m_{n'} \lambda_{nn'} + \frac{1}{2} \sum_n m_n^2 \lambda_{nn} + \dots \right] \quad (8)$$

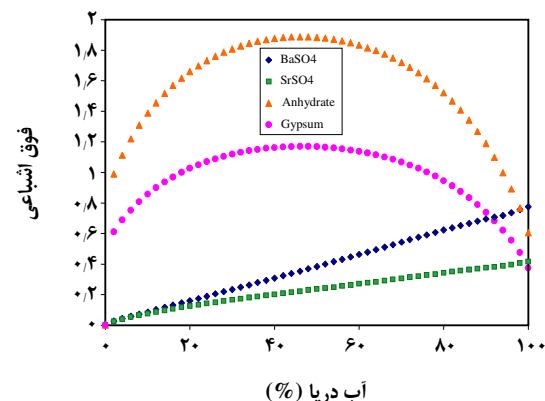
دو کمیت مهم برای بررسی تشکیل رسوب، فوق اشباع نسبی و مقدار رسوب می‌باشد که فوق اشباع نسبی به صورت زیر تعریف می‌شود:

$$S_{s,MX} = (m_M m_X)^{\frac{1}{2}} / (m_{M,e} m_{X,e})^{\frac{1}{2}} \quad (9)$$

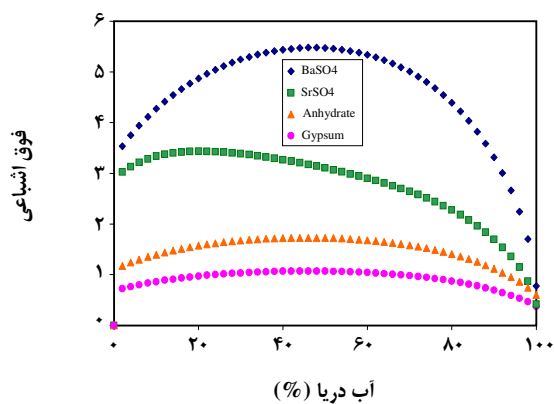
در شرایط $S_{s,MX} > 1$ محلول در حالت فوق اشباع بوده و امکان تشکیل رسوب وجود دارد. برای $S_{s,MX} = 1$ محلول در حالت اشباع بوده و یون‌های محلول، با فاز جامد در تعادل هستند.



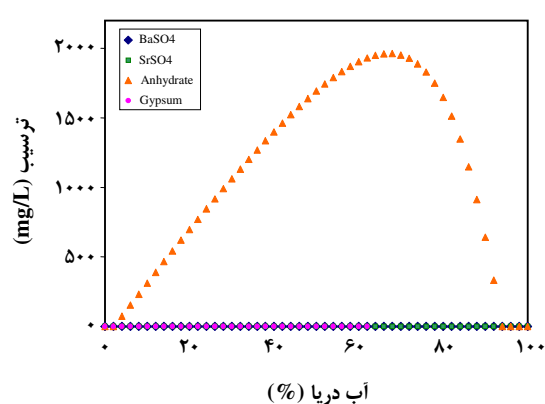
شکل ۴- پیش‌بینی مقدار رسوب سولفات‌ها در میدان نفتی سیری (دما ۵۰ درجه سانتیگراد و فشار ۱۳۵psi).



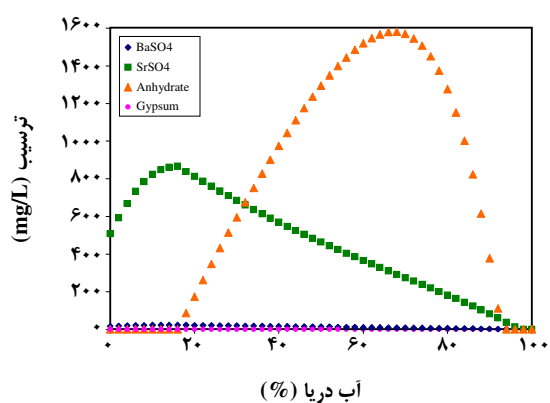
شکل ۱- پیش‌بینی فوق اشباعیت سولفات‌ها در میدان نفتی سیری (دما ۱۰۰ درجه سانتیگراد و فشار ۲۷۰psi).



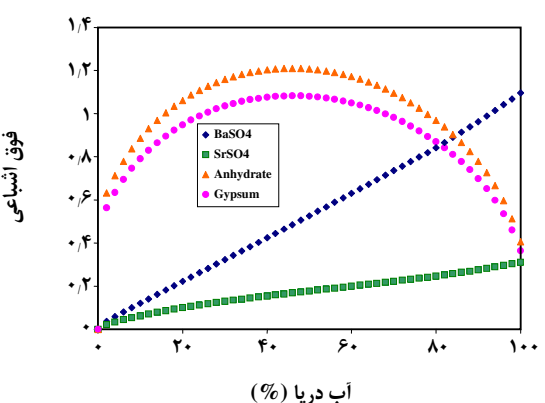
شکل ۵- پیش‌بینی فوق اشباعیت سولفات‌ها در میدان نفتی نصرت (دما ۱۰۰ درجه سانتیگراد و فشار ۳۷۰psi).



شکل ۲- پیش‌بینی مقدار رسوب سولفات‌ها در میدان نفتی سیری (دما ۱۰۰ درجه سانتیگراد و فشار ۲۷۰psi).



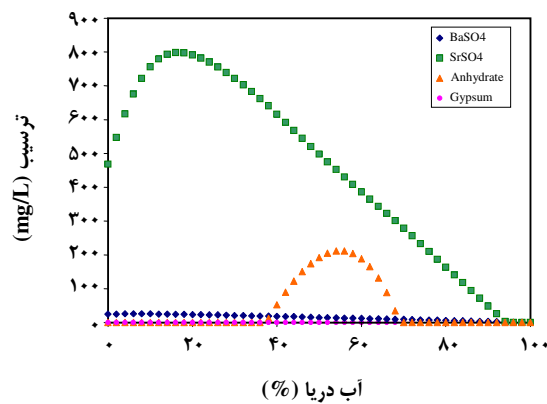
شکل ۶- پیش‌بینی مقدار رسوب سولفات‌ها در میدان نفتی نصرت (دما ۱۰۰ درجه سانتیگراد و فشار ۲۷۰psi).



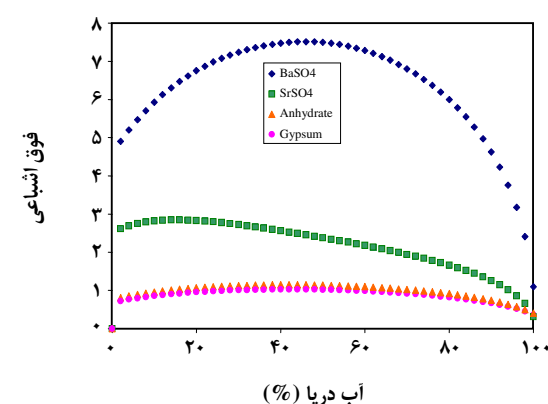
شکل ۳- پیش‌بینی فوق اشباعیت سولفات‌ها در میدان نفتی سیری (دما ۵۰ درجه سانتیگراد و فشار ۱۳۵psi).

جدول ۳- مقایسه نتیجه‌های محاسباتی فوق اشباعیت از مدل پیشنهادی با مشاهدهای میدانی گزارش شده در مرجع [۲۰].

سازند	دما (°C)	فشار (Psi)	درصد آب دریا	باریم سولفات	استرانسیم سولفات	ژیپسم	انیدرید	مشاهدهای میدانی [۹]
سیری-E	۱۰۰	۲۷۰	۵۰	۰,۳۸۴	۰,۲۳۵۳	۱,۱۶۷۴	۱,۸۸۳۷	انیدرید، ژیپسم
	۵۰	۱۳۵	۵۰	۰,۵۲۶۳	۰,۱۷۷۳	۱,۰۸۰۴	۱,۲۰۷	انیدرید، ژیپسم
نصرت	۱۰۰	۲۷۰	۸۰	۴,۳۹۱۷	۲,۲۷۴۷	۰,۸۷۵۲	۱,۴۰۸۶	استرانسیم سولفات، باریم سولفات، انیدرید
	۵۰	۱۳۵	۸۰	۵,۹۹۹۴	۱,۶۶۱۸	۰,۸۲۱۴	۰,۹۱۵۴	استرانسیم سولفات، باریم سولفات



شکل ۸- پیش‌بینی مقدار رسبوب سولفات در میدان نفتی نصرت (دما ۵۰ درجه سانتیگراد و فشار ۱۳۵psi).



شکل ۷- پیش‌بینی فوق اشباعیت سولفات در میدان نفتی نصرت (دما ۵۰ درجه سانتیگراد و فشار ۱۳۵psi).

کلسیم سولفات دواه (Gypsum) و کلسیم سولفات بدون آب (Anhydrite) در کنار استرانسیم سولفات و باریم سولفات محاسبه نشده بود که برای اولین بار در این مقاله توانایی خوب مدل پیشنهادی محاسبه‌های بسیار در این مقاله، توانایی خوب مدل پیشنهادی برای پیش‌بینی مقدار و نوع رسبوب در اثر اختلاط آبها را نشان می‌دهد. حال با توجه به مشکلات به وجود آمده در اثر تشکیل رسبوب در فرایند تزریق آب به مخازن نفتی، می‌توان به اهمیت پیش‌بینی این پدیده قبل از طراحی سیستم پی برد و با فهم بهتر اثر پارامترهای گوناگون مانند دما، فشار و نسبت آب دریا به آب سازند، طراحی مناسب‌تر برای افزایش بهره‌وری امکان‌پذیر می‌باشد. با رسم نمودارهای فوق اشباع و مقدار رسبوب، دیده شد که بیشترین مقدار رسبوب هنگامی است که مقدار حجم به نسبت زیاد آب سازند و حجم کم آب تزریقی با هم ترکیب شوند.

و فوق اشباعیت و مقدار رسبوب استرانسیم سولفات، انیدرید و ژیپسم کاهش می‌یابد (شکل‌های ۷ و ۸). در جدول ۳ برای دو میدان نفتی سیری-E و نصرت، مقدارهای محاسبه شده فوق اشباع نسبی برای نمک‌های باریم سولفات، استرانسیم سولفات، کلسیم سولفات بدون آب و کلسیم سولفات دو آبه آورده شده است. نتیجه‌های میدانی مرجع شماره [۲۰]، در ستون آخر جدول آورده شده است. با مقایسه نتیجه‌های محاسبه شده فوق اشباع نسبی و نتیجه‌های اندازه‌گیری شده می‌توان دریافت که مدل پیشنهادی، برای پیش‌بینی مقدار و نوع رسبوب در اثر اختلاط آبها، توانایی و دقت خوبی دارد.

نتیجه‌گیری

در مقاله‌های مرور شده تشکیل هم زمان رسبوب‌های

به دست آمده که فقط تعدادی از این اشکال در مقاله آورده شده، می‌توان گفت که با افزایش دما، مقدار فوق اشباعیت برای استرانسیم سولفات و کلسیم سولفات، افزایش و برای باریم سولفات، کاهش می‌یابد و افزایش فشار باعث کاهش فوق اشباعیت سولفات و مقدار رسوب تشکیل شده، می‌شود. البته در شرایط دمایی و فشاری اعمال شده در این پژوهش، تعییرهای فشار اثر کمتری را نشان می‌دهد.

تاریخ دریافت: ۱۳۸۷/۹/۹؛ تاریخ پذیرش: ۱۳۹۰/۶/۲۱

در مواردی که در ابتدای نمودار و ترکیب درصد صفر از آب دریا با رسوب سولفات رو به رو می‌شویم، علت تشکیل رسوب متفاوت بودن شرایط دمایی و فشاری گزارش شده برای تجزیه آب سازند و رسوب استرانسیم سولفات از دیگر رسوب‌های بیشتر موارد مقدار تشکیل رسوب کلسیم سولفات دو آبه در شرایط دما و فشار اعمال شده به تقریب ناچیز بود. این پدیده به علت حلالیت بالاتر کلسیم سولفات دو آبه در آب می‌باشد. با مقایسه شکل‌های

مراجع

- [1] کوشانفر، ع.; مصطفوی، م.; جزایری، س.ح؛ بررسی امکان تشکیل جرم بر اثر تزریق آب به مخازن نفتی سیری، مجله بین‌المللی علوم مهندسی، دانشگاه علم و صنعت ایران، ۱۳۷۵(۱)، ص. ۷۷
- [2] Sheikholeslami R., Ong H.W.K., Kinetics and Thermodynamics of Calcium Carbonate and Calcium Sulfate at Salinities up to 1.5 M, *Desalination*, 157(1-3), p. 217 (2003).
- [3] Yuan M.D., Todd A.C., Prediction of Sulfate Scaling Tendency in Oilfield Operations, *SPE 18484*, 6(1), p. 63 (1991).
- [4] Haarberg T., Seim I., Granbakken D.B., Scale Formation in Reservoir and Production Equipment During oil Recovery: An Equilibrium Model, *SPE 19449*, 7(1), p. 75 (1992).
- [5] Mitchell R.W., Grist B., Chemical Treatments Associated with North Sea Projects, *JPT*, 32(5), p.904 (1980).
- [6] Thomsen K., Stenby E.H., Prediction of Mineral Scale Formation in Geothermal and Oilfield Operation Using the Extended UNIQUAC Model Part I: Sulfate Scaling Minerals, *Geothermics*, 34(1), p. 61 (2004).
- [7] Thomsen K., Stenby E.H., Prediction of Mineral Scale Formation in Geothermal and Oilfield Operation Using the Extended UNIQUAC Model Part II: Carbonate Scaling Minerals, *Geothermics*, 35(3), p.239 (2006).
- [8] Zhu Y., Zhao Z., Scale Prediction and Prevention Technologies in Low Permeability Reservoir During Waterflood, *SPE 29955*, International Meeting on Petroleum Engineering, 14-17 Novembers, Beijing, China (1995).
- [9] Moghadasi J., Jamialahmadi M., Muller-Steinhagen H., Scale Formation in Oil Reservoir and Production Equipment During Water Injection, *SPE 82233*, SPE European Formation Damage Conference, 13-14 May, The Hague, Netherlands (2003).
- [10] Jacques D. F., Bourland, A Study of Solubility of Strontium Sulfate, *SPEJ*, 23(2), p. 292 (1983).
- [11] Oddo J.E., Tomson M.B., Why Scale Forms and How to Predict It, *SPE Production and Facilities*, 9(1), p. 47 (1994).

- [12] Lindlof J.C., Stoffer K.G., A Case Study of Seawater Injection Incompatibility, *JPT*, **35**(7), p. 1256 (1983).
- [13] Todd A.C., Yuan M.D., Barium and Strontium Sulfate Solid - Solution Scale Formation in Relation to North Sea Scaling Problems, *SPE Production Engineering*, *SPE 18200*, **5**(3), p. 279 (1990).
- [14] Vetter O.J.G., Calcium Carbonate Scale in Oilfield Operations, *SPE 6908*, SPE Annual Technical Conference and Exhibition, 27-30 September, Dallas, Texas (1987).
- [15] Liu Shixiang, Scaling Mechanism and Prevention Of Water Injection System in Mawangmiao Oilfield, *Journal of Jianghan Petroleum University Of Staff and Workers*, (2005-6).
- [16] Liu X., JungangL., Qianya Z., Jinlai F., Yingli L., Sunjingxin, The Analysis and Prediction of Scale Accumulation for Water-injection Pipelines in the Daqing Oilfield, *Journal of petroleum Science and Engineering*, **66**(3-4), p. 161 (2009).
- [17] Binmerdhah A.B., Yassin A.A.M., Muherei M.A., Laboratory and Prediction of Barium Sulfate Scaling at high-barium formation Water, *Journal of Petroleum Science and Engineering*, **70**(1-2), p. 79 (2010).
- [۱۸] متحدین، پ؛ "پیش‌بینی تشکیل رسوب در تزریق آب به چاه‌های نفت"، دانشگاه سمنان، پایان‌نامه کارشناسی ارشد، شهریور (۱۳۸۵).
- [19] Prausnitz J.M., Lichtenthaler R.N., Edmundo Gomes de Azevedo, "Molecular Thermodynamics of Fluid-Phase Equilibria" Third edition, Prentice-Hall, Inc. New Jersey (1999).
- [20] Moghadasi J., Jamialahmadi M., Muller-Steinhagen H., Izadpanah M.R., Formation Damage in Iranian Oil Fields, *SPE 73781*, International Symposium and Exhibition on Formation Damage Control, 20-21 February, Lafayette, Louisiana (2002).